



Foto.-337 Granodiorítica porfídica (γ^b_{p-1}) aflorante en la playa de Blanes. Obsérvese los fenocristales de feldespatos.



Foto.-338 Granodiorita biotítica ($c_{-2}^b \gamma \quad {}_b^3$) (Molino de Dalt).
Afloramiento granítico al norte de la Hoja, próximo a La Esparra.



Foto.- 339 Leucogranito de grano grueso ($c_{-2}^b \gamma^3$) en las -
proximidades de Can Fornaca (Roca Rosa), en la
riera de Santa Coloma.



Foto.-340 Leucogranito de grano medio ($c_{-3}^b \gamma_p^3$) aflorante en la falda meridional del macizo del Montseny.



Foto.-341 Masa granítica englobando restos de materiales paleozoicos no asimilados en las proximidades a la riera de Arbucias.



Foto.-342 Intrusión granítica postectónica en los esquistos andalusíticos (CA- ξ). Ctra. al Castillo de Montsolu (km. 1).

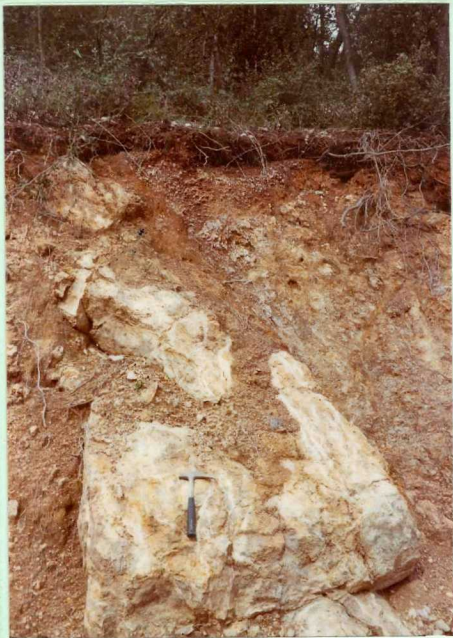


Foto.-343 Niveles carbonatados intercalados entre los es-
quistos andalucíticos (CA- ξ) del Cámbrico. --
Ctra. al Castillo de Montsoliu.



Foto.-344 Gneisses cuarzo-feldespáticos ($N_4^h \xi^2$) aflorantes en las proximidades al Castillo de Montsolíu.



Foto.-345 "Mármoles de Gualba" (CA - A) . Afloramiento
en el Serrat de Coll de Vives.



Foto.-346 Pizarras azules del Silúrico (s_{1-1}^{A-B}) aflorantes en las proximidades de Orsavinyá.



Foto.-347 Calizas devónicas ($S_2^B D_1$) aflorantes en la Ermita de Arola (Orsavinyá).



Foto.-348 Neck basáltico de San Corneli, con disyunción columnar, (β_0^{7-8}) cerca del río Tordera.



Foto.-349 Contacto intrusivo del basalto ($\text{c} \text{ } \text{B}_0^{7-8}$) con la masa granodiorítica en Las Mallorquinas.



Foto.-350 Colada de lava dispuesta sobre la masa granítica. Proximidades a la Autopista junto a Massanet de la Selva.



Foto.-351 Dique basáltico entre la masa granítica en las
cercanías de Blanes (Turó de L'Home).



Foto.-352 Depósitos pliocénicos (T_2^B) de la Depresión de la Selva. Cruce de Carreteras a Gerona y Vidreras.



Foto.-353 Depósitos miocénicos del Vallés. Unidad Tgs^{Bb - Bcl}_{cl1 - cl2}
La Batlloria.



Foto.-354 Colada de lava interestratificada con los depósitos mixtos (τ_{cv}^B). Alrededores del Castillo de Hostalric.



Foto.-355 Falla producida por el efecto intrusivo del neck basáltico de Hostalric.



Foto.-356 Depósitos arcosícos ($\tau_{bg}^{B1}_{2-1}$) del borde más septentrional de la Depresión del Vallés. Proximidades de Hostalric.



Foto.-357 Detalle de la foto anterior (Tbg $\begin{smallmatrix} B1 \\ 2-1 \end{smallmatrix}$)



Foto.-358 Panorámica del macizo granítico del Montseny.



Foto.-359 Vista general de los "Mármoles de Gualba" (parte inferior) en contacto con los granitos del macizo del Montseny (parte superior). Riera de Gualba.